



ISSN 1609-1817

М. ТЫНЫШБАЕВ атындағы
ҚАЗАҚ КӨЛЛК ЖӘНЕ КОММУНИКАЦИЯЛАР АКАДЕМИЯСЫНЫң

ХАБАРШЫСЫ ВЕСТНИК

КАЗАХСКОЙ АКАДЕМИИ ТРАНСПОРТА И КОММУНИКАЦИЙ
имени М.ТЫНЫШПАЕВА



№ 4 - 2013

СОДЕРЖАНИЕ

ПРОЕКТИРОВАНИЕ, СТРОИТЕЛЬСТВО И ЭКСПЛУАТАЦИЯ ТРАНСПОРТНЫХ СООРУЖЕНИЙ

Исаханов Е.А., Квашнин М.Я., Абиев Б.А., Алпыспаева Ж.

Сопротивление сдвигу несвязных грунтов при статических и вибрационных нагрузках.....

4

Украинец В.Н., Гирнис С.Р., Ахметжанова М.М.

Расчет перегонного тоннеля метрополитена глубокого залегания на транспортную нагрузку.....

10

ПОДВИЖНОЙ СОСТАВ

Алижан А., Ахметов К., Алтаев О.

Исследование напряженно-деформированного состояния гребней колес

локомотивов методом конечно-элементного моделирования.....

17

Кубекова В.К., Арипбаева А.О., Тулеуленова Э. М.

Оптимизация числа вагонов в составах поездов в условиях непостоянства объемов поставок.....

26

Мусабеков М.О., Елшибеков А.М., Жунисбеков Н.М.

Совершенствование смесеобразования в тепловозных дизелях с применением аккумуляторных систем топливоподачи.....

32

УПРАВЛЕНИЕ ПРОЦЕССАМИ ПЕРЕВОЗОК

Айкүмбеков М.Н., Мауленов Н.С., Тасбалтаулы Д.

Типы структур автоматизированной системы управления грузовой станцией.....

37

Богданович С.В., Киселева О.Г.

Проблемы и перспективы организации пассажирских перевозок в Республике

Казахстан.....

42

АВТОМАТИКА, ТЕЛЕМЕХАНИКА, СВЯЗЬ, ЭЛЕКТРОЭНЕРГЕТИКА, ИНФОРМАЦИОННЫЕ СИСТЕМЫ

Битилеуова З.К., Мурзабекова К.А., Григорьева П.Т.

Математическое моделирование на базе современной вычислительной

техники.....

46

Веденников Б.М., Максымбаева Т.Е.

Особенности проектирования систем интервального регулирования движения

поездов с применением радиоканала.....

51

Ефимова О.Н. , Айтмухамбетов А.И.

Польза от энергосберегающих мероприятий на промышленном предприятии города

Алматы.....

56

УДК 539.3

Украинец Виталий Николаевич – д. т. н., профессор (г. Павлодар, ПГУ)
Гирнис Светлана Римонтасовна – к. т. н., доцент (г. Павлодар, ПГУ)
Ахметжанова Макпал Манарабековна – инженер (г. Алматы, ИМММ)

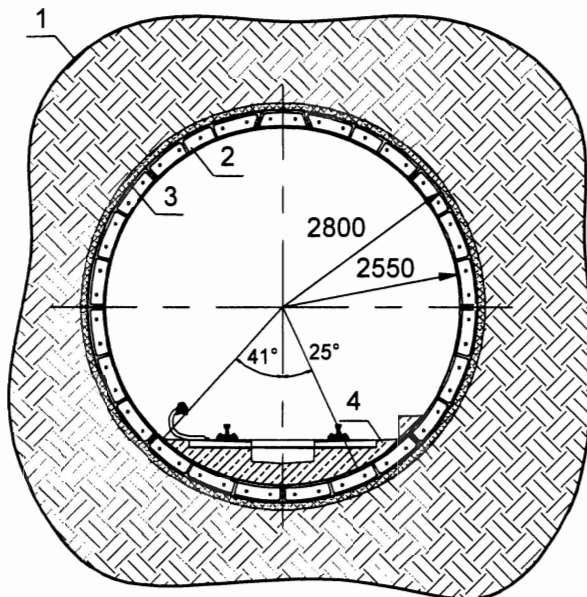
РАСЧЕТ ПЕРЕГОННОГО ТОННЕЛЯ МЕТРОПОЛИТЕНА ГЛУБОКОГО ЗАЛЕГАНИЯ НА ТРАНСПОРТНУЮ НАГРУЗКУ

В настоящее время научными, проектными и строительными организациями накоплен большой опыт успешной реализации сложных проектов подземного строительства. Созданы новые прогрессивные конструктивные решения подземных объектов, разработаны эффективные аналитические и численные методы их расчёта большинства различных видов нагрузок и воздействий. Тем не менее, до сих пор практически отсутствуют действенные методы расчёта тоннелей на транспортные нагрузки (подвижные нагрузки от движущегося внутритоннельного транспорта), хотя мировая практика эксплуатации тоннелей свидетельствует о многочисленных повреждениях и разрушениях, которым данные сооружения подвергаются вследствие их воздействия. Экспериментальные исследования показывают, что воздействие транспортных нагрузок на тоннель приводит к возникновению вибраций как в самом сооружении, так и в окружающем его породном массиве. С увеличением скорости движения нагрузок вибрации возрастают. Превышение уровней вибраций допустимых норм может привести к потере несущей способности конструкций тоннеля или их непригодности для нормальной эксплуатации, а при его мелком заложении – к тем же последствиям для расположенных вблизи наземных сооружений. Кроме того, вибрации оказывают неблагоприятные воздействия на различные технологические процессы повышенной точности и людей. Поэтому, наряду со статическим расчётом транспортных тоннелей, необходимо всестороннее изучение происходящих в них динамических процессов, актуальность которых обусловлена намечающейся в последние годы тенденцией в сторону увеличения скоростей транспортных средств.

Аналитическое решение задачи о действии подвижной нагрузки на бесконечно длинную двухслойную круговую цилиндрическую оболочку в упругом пространстве, полученное Гирнис С.Р. [1] подтверждает, что внутренний слой оболочки полагался толстым и его движение описывалось динамическими уравнениями теории упругости, наружный слой – тонким, для которого использовалась классическая теория тонких оболочек. В настоящей работе решение задачи бегущей внутри нагрузки, заключённой в тонкостенную обойму цилиндра в упругом пространстве применяется для динамического расчета перегонного тоннеля метрополитена глубокого заложения (нагрузки, передаваемой обделке тоннеля подвижным составом). Научная новизна работы состоит в разработке методики динамического расчёта напряженно-деформированного состояния рассматриваемого тоннеля с учетом взаимодействия конструкции и окружающего массива, а также скорости движения подвижного состава.

Рассмотрим тоннель глубокого заложения, подкрепленный сборной тюбинговой чугунной обделкой с радиусами наружной и внутренней поверхностей, соответственно $R_1 = 2,8$ м и $R_2 = 2,55$ м (рисунок 1). Обделка выполнена из 9 чугунных тюбингов [2] в кольце (марка чугуна СЧ20: коэффициент Пуассона $\nu = 0,3$, модуль упругости $E = 10^5$ МПа, плотность $\rho = 7,2 \cdot 10^3$ кг/м³ [3]) с заполнением закрепленного пространства цементным раствором. Размеры тюбинга (рисунок 2): ширина $b = 750$ мм, толщина спинки и ребер $t = 35$ мм, высота ребер $h = 215$ мм. Окружающий тоннель массив – суглинок ($\nu = 0,35$,

$E = 0,51 \cdot 10^3 \text{ МПа}$, $\rho = 1,8 \cdot 10^3 \text{ кг/м}^3$ [4-6]).



1 – породный массив; 2 – чугунная тюбинговая обделка; 3 – цементный раствор;
4 – железобетонное основание пути

Рисунок 1 – Поперечное сечение тоннеля

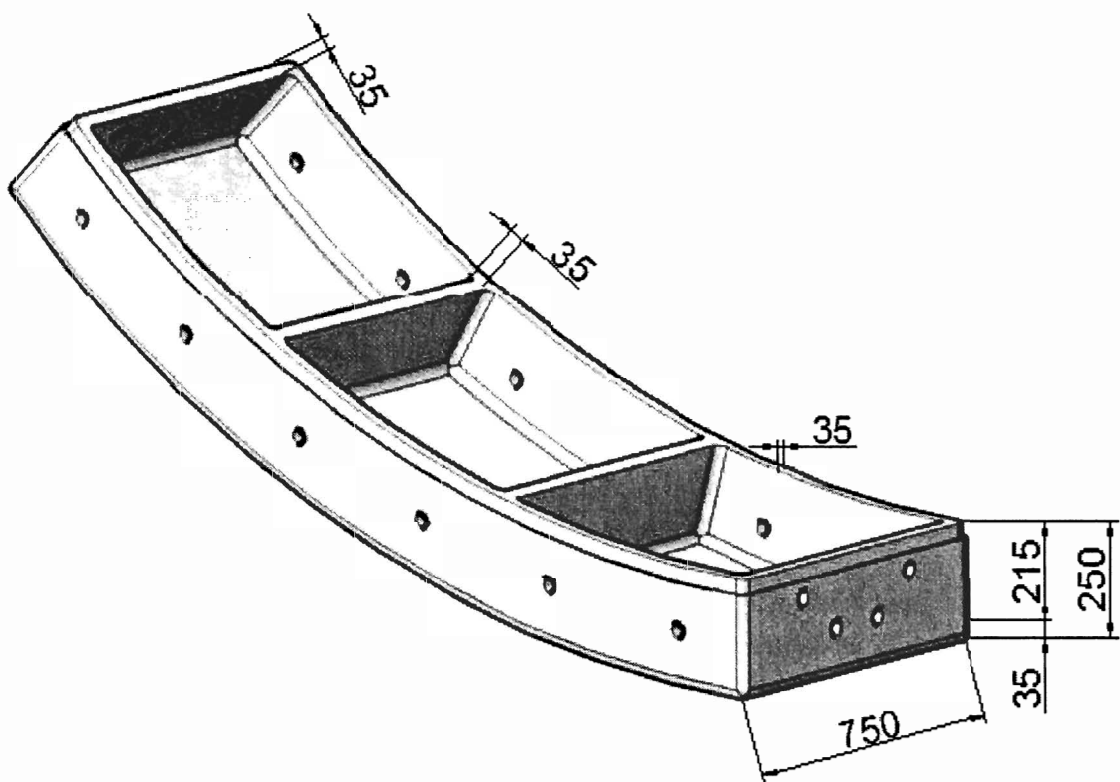


Рисунок 2 – Тюбинг сборной обделки

Действующая на тоннель нагрузка от движущегося с постоянной скоростью с поездом показана на рисунке 3 [7,8].

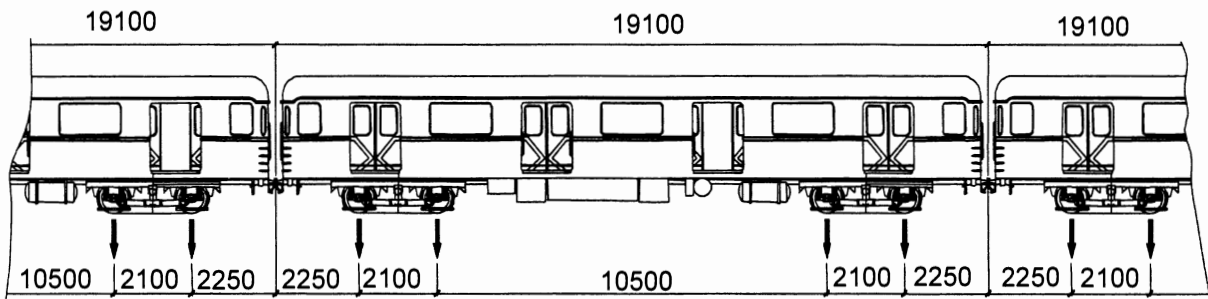


Рисунок 3 – Нагрузка на тоннель от подвижного состава

При расчете сборную обделку рассматриваем как двухслойную оболочку (рисунок 4), используя метод «размазывания» ребер тюбингов [9]. Согласно этому методу, внешним слоем такой оболочки являются спинки тюбингов, внутренним квазиоднородным слоем – сплошной слой, масса которого равна массе ребер тюбингов, а толщина – высоте ребер. Значения плотности и модуля упругости материала эквивалентного тюбинговым ребрам квазиоднородного слоя будут меньше, чем материала ребер (в нашем случае $\rho = 1,152 \cdot 10^3 \text{ кг}/\text{м}^3$, $E = 0,16 \cdot 10^5 \text{ МПа}$).

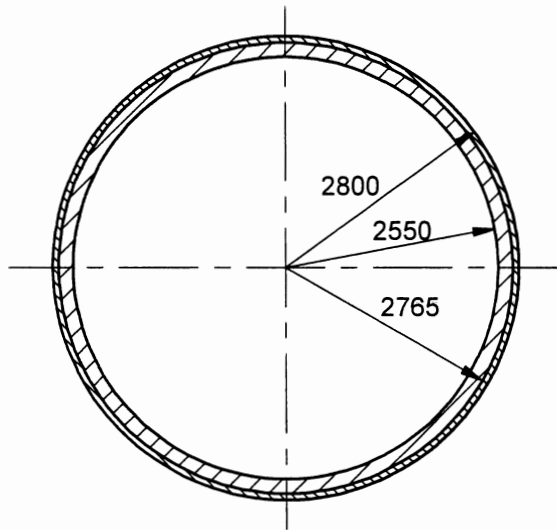


Рисунок 4 – Расчетная схема поперечного сечения обделки

Отделяющий обделку от массива цементный слой в расчет не принимаем, что даст некоторый (незначительный) запас прочности обделки. Контакт между обделкой и массивом принимаем скользящим.

При моделировании действующей на обделку тоннеля вертикальной транспортной нагрузки от двух смежных вагонов в окрестности участка их сцепления полагаем, что она равномерно распределена по контактирующей с бетонным основанием пути поверхности обделки длиной 8,7 м (см. рисунок 5, а, б, где P° – интенсивность поверхностной нагрузки, r, θ, η – связанная с нагрузкой подвижная цилиндрическая система координат). На рисунке 5, в, г показаны составляющие интенсивности данной нагрузки: нормальная радиальная – P_r (рисунок 5, в) и касательная тангенциальная – P_θ (рисунок 5, г). Действием последней составляющей – P_θ , в силу её незначительного влияния на напряженно-деформированное состояние (НДС) тоннеля, пренебрегаем [10].

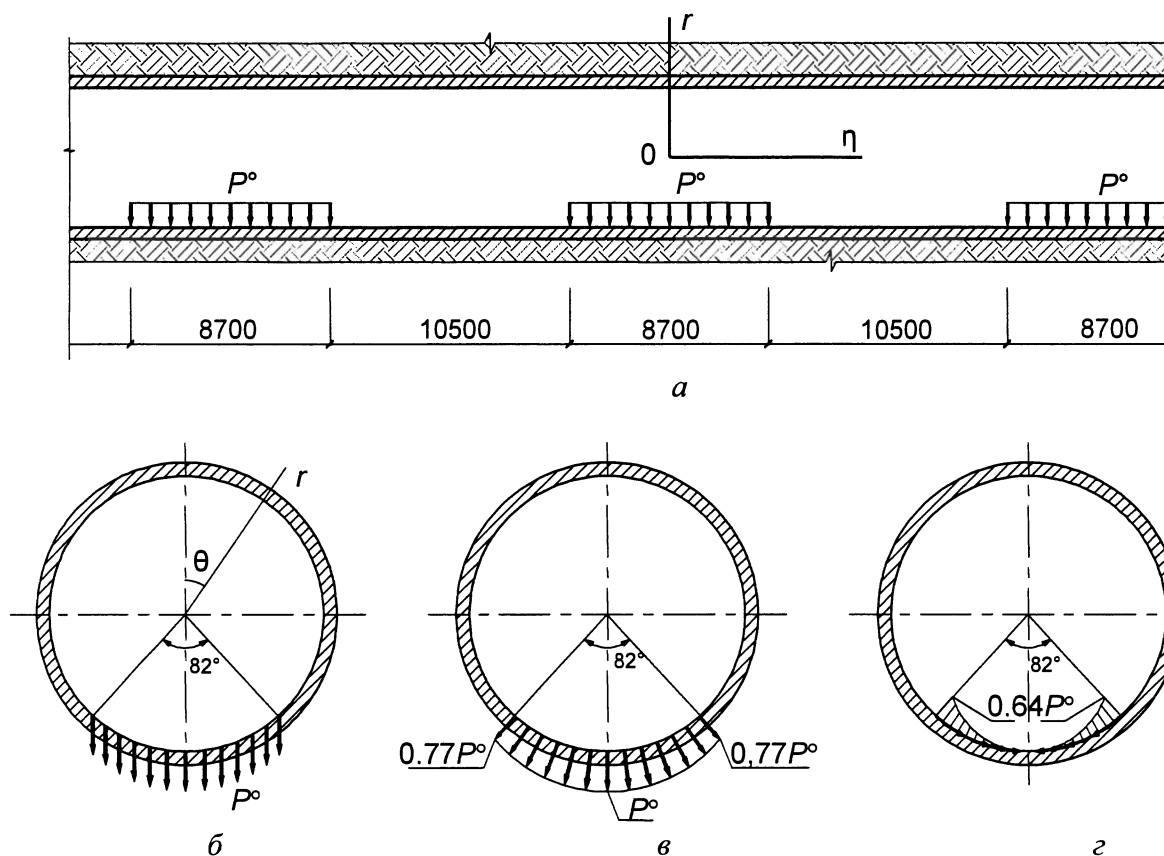


Рисунок 5 – Действие транспортной нагрузки на обделку

Исследования, проведенные Украинцем В.Н. и Гирнисом С.Р., показали, что в проектировании, расчете и эксплуатации тоннелей необходимо учитывать возможность перехода скорости с движения транспортной нагрузки через первую (нормальную) критическую скорость c_* , вызывающую в тоннеле резонансные явления [11]. Указанные в этом случае незатухающие вдоль оси тоннеля колебания могут привести к повреждению или разрушению. Критическую скорость c_* нагрузки можно определить по дисперсионной кривой $c(\xi)$, где ξ – волновое число. Построенная для данного тоннеля дисперсионная кривая показана на рисунке 6.

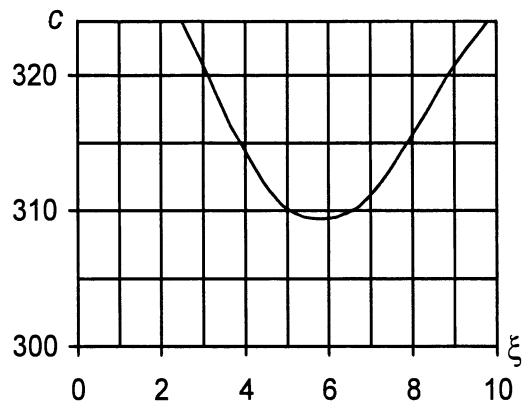


Рисунок 6 – Дисперсионная кривая $c(\xi)$

Минимум кривой соответствует значению критической скорости $c_* \approx 310\text{м/с}$, то есть безопасные, не вызывающие резонансных явлений и незатухающих колебаний в тоннеле, значения скоростей транспортной нагрузки ограничены интервалом $0 < c < 310\text{м/с}$.

В таблицах 1, 2 приведены результаты расчёта напряжённо-деформированного состояния рассматриваемого тоннеля в поперечном сечении $\eta = 0$ (посередине участка нагружения обделки $|\eta| \leq 4,35\text{м}$ одной из нагрузок (рисунок 5, а)) при докритической скорости движения состава $c = 70\text{ км/ч}$. Обозначения в таблицах: $u_r^\circ = u_r \mu / P^\circ$, м, $\sigma_{\theta\theta}^\circ = \sigma_{\theta\theta} / P^\circ$, $\sigma_{\eta\eta}^\circ = \sigma_{\eta\eta} / P^\circ$, где u_r – радиальные перемещения, $\sigma_{\theta\theta}$ и $\sigma_{\eta\eta}$ – соответственно тангенциальные и осевые нормальные напряжения, $\mu = E / 2(1+\nu)$ – модуль сдвига массива.

Таблица 1 – Компоненты НДС обделки в сечении $\eta = 0$

Комп. НДС	$\theta, \text{град}$										
	0	20	40	60	80	90	100	120	140	160	180
Внутренняя поверхность тюбинговых спинок											
u_r°	-0,016	-0,018	-0,014	0,006	0,032	0,043	0,051	0,066	0,089	0,115	0,127
$\sigma_{\theta\theta}^\circ$	-4,574	-2,066	3,437	7,660	8,719	8,830	9,289	11,56	12,82	10,95	9,305
$\sigma_{\eta\eta}^\circ$	-3,062	-2,408	-2,115	-3,482	-4,188	-3,598	-2,570	-0,999	-1,997	-4,504	-5,759
Наружная поверхность обделки											
u_r°	0,016	-0,018	-0,014	0,006	0,032	0,043	0,051	0,066	0,089	0,115	0,126
$\sigma_{\theta\theta}^\circ$	0,081	1,625	6,067	10,54	12,16	12,24	12,51	14,81	17,60	17,92	17,29
$\sigma_{\eta\eta}^\circ$	11,68	10,25	7,760	6,770	7,345	7,908	8,637	11,03	14,84	18,58	20,14

Таблица 2 – Компоненты НДС контактирующей с обделкой поверхности массива в сечении $\eta = 0$

Комп. НДС	$\theta, \text{град}$										
	0	20	40	60	80	90	100	120	140	160	180
u_r°	-0,016	-0,018	-0,014	0,006	0,032	0,043	0,051	0,066	0,089	0,115	0,126
$\sigma_{\theta\theta}^\circ$	-0,121	-0,099	0,086	-0,129	-0,171	-0,170	-0,153	-0,116	-0,140	-0,214	-0,254
$\sigma_{\eta\eta}^\circ$	-0,307	-0,276	-0,266	-0,358	-0,458	-0,471	0,457	-0,412	-0,438	-0,526	-0,574

Из анализа напряжённого состояния тоннеля следует, что компоненты напряжённого состояния наружной поверхности обделки и контактирующей с ней поверхности массива значительно отличаются. В частности, при переходе от поверхности обделки к поверхности массива абсолютные значения напряжений существенно снижаются. При этом на контактирующей с обделкой поверхности массива возникают только сжимающие напряжения $\sigma_{\theta\theta}$, $\sigma_{\eta\eta}$, достигающие наибольших по абсолютной величине значений в пределах участка нагружения тоннеля. Здесь же, как показали расчёты, возникают наибольшие по абсолютной величине сжимающие радиальные напряжения σ_r ($\max|\sigma_r| = 0,38P^\circ$). Таким образом, в пределах участка нагружения тоннеля массив подвергается наибольшему всестороннему сжатию, что может привести к его уплотнению (особенно в случае слабых грунтов) и, следовательно, – к оседанию тоннеля с отрывом

Минимум кривой соответствует значению критической скорости $c_* \approx 310\text{м/с}$, то есть безопасные, не вызывающие резонансных явлений и незатухающих колебаний в тоннеле, значения скоростей транспортной нагрузки ограничены интервалом $0 < c < 310\text{м/с}$.

В таблицах 1, 2 приведены результаты расчёта напряжённо-деформированного состояния рассматриваемого тоннеля в поперечном сечении $\eta = 0$ (посередине участка нагружения обделки $|\eta| \leq 4,35\text{м}$ одной из нагрузок (рисунок 5, а)) при докритической скорости движения состава $c = 70\text{ км/ч}$. Обозначения в таблицах: $u_r^\circ = u_r \mu / P^\circ$, м, $\sigma_{\theta\theta}^\circ = \sigma_{\theta\theta} / P^\circ$, $\sigma_{\eta\eta}^\circ = \sigma_{\eta\eta} / P^\circ$, где u_r – радиальные перемещения, $\sigma_{\theta\theta}$ и $\sigma_{\eta\eta}$ – соответственно тангенциальные и осевые нормальные напряжения, $\mu = E / 2(1+\nu)$ – модуль сдвига массива.

Таблица 1 – Компоненты НДС обделки в сечении $\eta = 0$

Комп. НДС	$\theta, \text{град}$										
	0	20	40	60	80	90	100	120	140	160	180
Внутренняя поверхность тюбинговых спинок											
u_r°	-0,016	-0,018	-0,014	0,006	0,032	0,043	0,051	0,066	0,089	0,115	0,127
$\sigma_{\theta\theta}^\circ$	-4,574	-2,066	3,437	7,660	8,719	8,830	9,289	11,56	12,82	10,95	9,305
$\sigma_{\eta\eta}^\circ$	-3,062	-2,408	-2,115	-3,482	-4,188	-3,598	-2,570	-0,999	-1,997	-4,504	-5,759
Наружная поверхность обделки											
u_r°	0,016	-0,018	-0,014	0,006	0,032	0,043	0,051	0,066	0,089	0,115	0,126
$\sigma_{\theta\theta}^\circ$	0,081	1,625	6,067	10,54	12,16	12,24	12,51	14,81	17,60	17,92	17,29
$\sigma_{\eta\eta}^\circ$	11,68	10,25	7,760	6,770	7,345	7,908	8,637	11,03	14,84	18,58	20,14

Таблица 2 – Компоненты НДС контактирующей с обделкой поверхности массива в сечении $\eta = 0$

Комп. НДС	$\theta, \text{град}$										
	0	20	40	60	80	90	100	120	140	160	180
u_r°	-0,016	-0,018	-0,014	0,006	0,032	0,043	0,051	0,066	0,089	0,115	0,126
$\sigma_{\theta\theta}^\circ$	-0,121	-0,099	0,086	-0,129	-0,171	-0,170	-0,153	-0,116	-0,140	-0,214	-0,254
$\sigma_{\eta\eta}^\circ$	-0,307	-0,276	-0,266	-0,358	-0,458	-0,471	0,457	-0,412	-0,438	-0,526	-0,574

Из анализа напряжённого состояния тоннеля следует, что компоненты напряжённого состояния наружной поверхности обделки и контактирующей с ней поверхности массива значительно отличаются. В частности, при переходе от поверхности обделки к поверхности массива абсолютные значения напряжений существенно снижаются. При этом на контактирующей с обделкой поверхности массива возникают только сжимающие напряжения $\sigma_{\theta\theta}$, $\sigma_{\eta\eta}$, достигающие наибольших по абсолютной величине значений в пределах участка нагружения тоннеля. Здесь же, как показали расчёты, возникают наибольшие по абсолютной величине сжимающие радиальные напряжения σ_r ($\max|\sigma_r| = 0,38P^\circ$). Таким образом, в пределах участка нагружения тоннеля массив подвергается наибольшему всестороннему сжатию, что может привести к его уплотнению (особенно в случае слабых грунтов) и, следовательно, – к оседанию тоннеля с отрывом

Минимум кривой соответствует значению критической скорости $c_* \approx 310\text{м/с}$, то есть безопасные, не вызывающие резонансных явлений и незатухающих колебаний в тоннеле, значения скоростей транспортной нагрузки ограничены интервалом $0 < c < 310\text{м/с}$.

В таблицах 1, 2 приведены результаты расчёта напряжённо-деформированного состояния рассматриваемого тоннеля в поперечном сечении $\eta = 0$ (посередине участка нагружения обделки $|\eta| \leq 4,35\text{м}$ одной из нагрузок (рисунок 5, а)) при докритической скорости движения состава $c = 70\text{ км/ч}$. Обозначения в таблицах: $u_r^\circ = u_r \mu / P^\circ$, м, $\sigma_{\theta\theta}^\circ = \sigma_{\theta\theta} / P^\circ$, $\sigma_{\eta\eta}^\circ = \sigma_{\eta\eta} / P^\circ$, где u_r – радиальные перемещения, $\sigma_{\theta\theta}$ и $\sigma_{\eta\eta}$ – соответственно тангенциальные и осевые нормальные напряжения, $\mu = E / 2(1+\nu)$ – модуль сдвига массива.

Таблица 1 – Компоненты НДС обделки в сечении $\eta = 0$

Комп. НДС	θ , град										
	0	20	40	60	80	90	100	120	140	160	180
Внутренняя поверхность тюбинговых спинок											
u_r°	-0,016 -	-0,018 -	-0,014	0,006	0,032	0,043	0,051	0,066	0,089	0,115	0,127
$\sigma_{\theta\theta}^\circ$	-4,574	-2,066	3,437	7,660	8,719	8,830	9,289	11,56	12,82	10,95	9,305
$\sigma_{\eta\eta}^\circ$	-3,062	-2,408	-2,115	-3,482	-4,188	-3,598	-2,570	-0,999	-1,997	-4,504	-5,759
Наружная поверхность обделки											
u_r°	0 0 6	0 1 -0,018	-0,014	0,006	0,032	0,043	0,051	0,066	0,089	0,115	0,126
$\sigma_{\theta\theta}^\circ$	0,081	1,625	6,067	10,54	12,16	12,24	12,51	14,81	17,60	17,92	17,29
$\sigma_{\eta\eta}^\circ$	11,68	10,25	7,760	6,770	7,345	7,908	8,637	11,03	14,84	18,58	20,14

Таблица 2 – Компоненты НДС контактирующей с обделкой поверхности массива в сечении $\eta = 0$

Комп. НДС	θ , град										
	0	20	40	60	80	90	100	120	140	160	180
u_r°	-0,016	-0,018	-0,014	0,006	0,032	0,043	0,051	0,066	0,089	0,115	0,126
$\sigma_{\theta\theta}^\circ$	-0,121	-0,099	0,086	-0,129	-0,171	-0,170	-0,153	-0,116	-0,140	-0,214	-0,254
$\sigma_{\eta\eta}^\circ$	-0,307	-0,276	-0,266	-0,358	-0,458	-0,471	0 45 7	-0,412	-0,438	-0,526	-0,574

Из анализа напряжённого состояния тоннеля следует, что компоненты напряжённого состояния наружной поверхности обделки и контактирующей с ней поверхности массива значительно отличаются. В частности, при переходе от поверхности обделки к поверхности массива абсолютные значения напряжений существенно снижаются. При этом на контактирующей с обделкой поверхности массива возникают только сжимающие напряжения $\sigma_{\theta\theta}$, $\sigma_{\eta\eta}$, достигающие наибольших по абсолютной величине значений в пределах участка нагружения тоннеля. Здесь же, как показали расчёты, возникают наибольшие по абсолютной величине сжимающие радиальные напряжения σ_{rr} ($\max|\sigma_{rr}| = 0,38P^\circ$). Таким образом, в пределах участка нагружения тоннеля массив подвергается наибольшему всестороннему сжатию, что может привести к его уплотнению (особенно в случае слабых грунтов) и, следовательно, – к оседанию тоннеля с отрывом

верхней части обделки от массива. Анализ деформированного состояния тоннеля показывает, что положение и круговая форма поперечного сечения обделки меняются – сечение опускается, вытягиваясь по вертикали (рисунок 7). Указанные факторы могут оказать негативное влияние на конструкцию обделки.

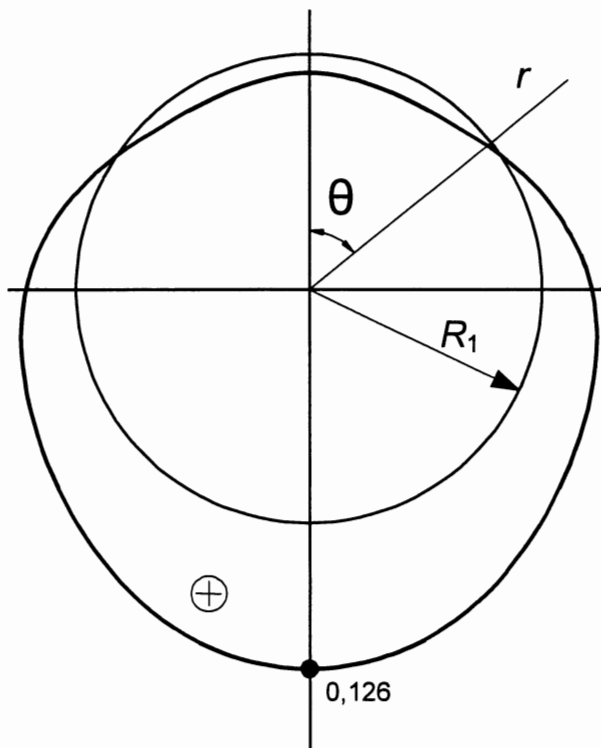


Рисунок 7 – Эпюра радиальных перемещений u_r° , м на контуре поперечного сечения
 $\eta = 0$ наружной поверхности обделки

Например, на Замоскворецкой линии Московского метрополитена из-за многократного воздействия на слабые грунты вибрационных нагрузок, вызываемых движущимся составом, тоннельные конструкции начали расшатываться. Глины, на которые опирается сборная обделка тоннеля, уплотнились, тоннель стал "садиться". Возникли опасные явления: вследствие "отлипания" верхней части обделки от грунта произошло нарушение её прочного контакта с породой, круглая форма поперечного сечения тоннеля превратилась в эллипсообразную, на стыке между тюбингами появились микротрешины.

Выводы

1. При проектировании, расчете и эксплуатации перегонных тоннелей метрополитена необходимо учитывать возможность перехода скорости движения транспортной нагрузки через первую (низшую) критическую скорость, вызывающую в тоннеле резонансные явления.

2. Вследствие воздействия на тоннель транспортной нагрузки, положение и форма поперечного сечения его обделки меняются (сечение опускается, вытягиваясь по вертикали), что может привести к таким негативным последствиям, как нарушение прочного контакта верхней части обделки с породой и появление в обделке микротрешин.

ЛИТЕРАТУРА

1. Гирнис С.Р. Задача о бегущей внутри заключённого в тонкостенную обойму цилиндра нагрузке в упругом пространстве //Динамика исследований: материалы IV Межд. науч. практ. конф. – София, 2008. – Т. 28. – С. 52-57.
2. ТУ 14-3-964-80. Тюбинги чугунные сооружений метрополитена. – М.: ИПК Издательство стандартов, 1980 – 64 с.
3. СНиП II.23.81. Стальные конструкции. – М.: Госстрой России, 1981. – 90 с.
4. Красников Н.Д. Динамические свойства грунтов и методы их определения. – Л.: Стройиздат, 1970. – 237 с.
5. Ухов С.Б., Семенов В.В., Знаменский В.В. и др. Механика грунтов, основания и фундаменты. – М.: АСВ, 1994. – 527 с.
6. Цытович М.А. Механика грунтов. – М.: Высшая школа, 1983. – 288 с.
7. СНиП 32-02-2003. Метрополитены. – Введ. 2004-01-01– М.: Госстрой России, 2004. – 25 с.
8. СП 32-105-2004. Метрополитены. Свод правил. – М.: Госстрой России, 2004. – 252 с.
9. Булычев Н.С. Механика подземных сооружений в примерах и задачах. – М.: Недра, 1989. – 270 с.
10. Украинец В.Н. Динамика тоннелей и трубопроводов мелкого заложения под воздействием подвижных нагрузок. – Павлодар: НИЦ ПГУ им. С. Торайгырова, 2006. – 123 с.
11. Украинец В.Н., Гирнис С.Р. Моделирование динамики тоннелей и трубопроводов глубокого заложения при действии транспортных нагрузок. – Павлодар: Кереку, 2010. – 138 с.

Работа выполнена при поддержке гранта 0898/ГФ2, 0112РК02221 МОН РК.